

# МОДЕЛИРОВАНИЕ ДВУХФАЗНОЙ ФИЛЬТРАЦИИ В ОКРЕСТНОСТИ ТЕКТОНИЧЕСКОГО РАЗЛОМА НЕФТЯНОГО ПЛАСТА

В работе представлена математическая модель двухфазной фильтрации в нефтяном пласте с тектоническими нарушениями типа «сдвиг» и «сброс». Течения флюида по трещине разлома описывается специальной системой уравнений фильтрации, осредненных по ширине трещины разлома.

*Ключевые слова:* тектонический разлом, нефтяной пласт, двухфазная фильтрация, математическое моделирование.

## Введение

Тектонические нарушения в виде геологического разлома образуются вследствие движения земных масс. Они состоят из структурной зоны однотипных тектонических деформаций, которые ассоциируются с трещиной разлома. Разлом, в котором основное направление движения пород происходит в вертикальной плоскости, называется сбросом; смещение пород в горизонтальной плоскости называется сдвигом. Трещина разлома заполнена композитным материалом, который образуется при раздроблении, перетирации и сдавливании минералов исходных пород.

Разработка месторождений углеводородов в зоне тектонических разломов осложняется тем, что возможны перетоки флюида через трещину разлома, что приводит к неконтролируемым фильтрационным потокам в этой зоне. Интенсивность таких потоков зависит от проницаемости материала, заполняющего трещину, и величины ее эффективного раскрытия. Эти параметры трудно замерить непосредственно из-за глубины залегания пласта и сложного композитного строения материала. Поэтому представляется рациональным изучать процессы фильтрации в окрестности тектонических разломов с помощью математических моделей, в которые указанные фильтрационные свойства разлома входили бы как параметры адаптации, требующие определения по промысловым данным на скважинах.

## 1. Математическая модель

Записанная в безразмерной форме математическая модель фильтрации двухфазного флюида в окрестности тектонического разлома (в вертикальном сечении, ортогональном линии разлома) содержит:

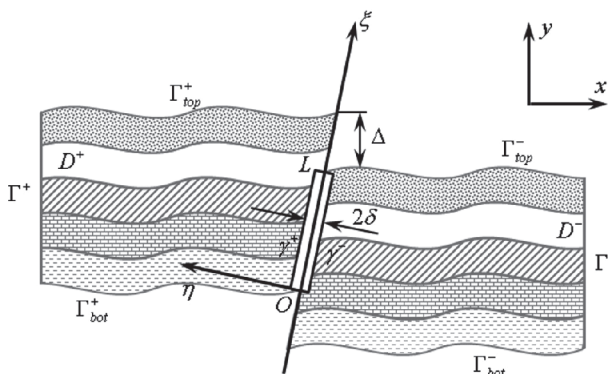


Рис. 1. Схема разлома типа «сброс» и основные обозначения.

– уравнения для давления  $p$  в областях  $D^-$  (справа от трещины разлома, рис. 1) и  $D^+$  (слева от трещины разлома):

$$\beta \frac{\partial p}{\partial t} + \nabla \vec{V} = 0, \quad \vec{V} = -\sigma \nabla p, \quad \sigma = k [k_w(s) + K_\mu k_o(s)],$$

$$K_\mu = \mu_o / \mu_w; \quad k_w(s) = s^n, \quad k_o(s) = (1-s)^n, \quad n = 1..3; \quad (1)$$

– уравнения для водонасыщенности  $s$  в  $D^+$  и  $D^-$ :

$$m \frac{\partial s}{\partial t} + \nabla (f(s) \vec{V}) = 0, \quad f = \frac{k_w(s)}{k_w(s) + K_\mu k_o(s)}; \quad (2)$$

– начальные условия:

$$t = 0: \quad p = 0; \quad s = 0. \quad (3)$$

– граничные условия на внешних границах:

$$\Gamma_{top}, \Gamma_{bot}: \quad \sigma \frac{\partial p}{\partial n} = 0;$$

$$\Gamma^+: \quad p = 1, \quad s = 1; \quad \Gamma^-: \quad p = p_w^- < 0; \quad (4)$$

– задача для среднего давления  $\langle p \rangle$  в трещине разлома:

$$-\frac{\varepsilon^2}{3} \frac{d^2 \langle p \rangle}{d\xi^2} + \langle p \rangle = \tilde{p}, \quad 0 < \xi < 1;$$

$$\frac{d \langle p \rangle}{d\xi} \Big|_{\xi=0,1} = 0, \quad \tilde{p} \equiv \frac{p^+ + p^-}{2} \Big|_\gamma; \quad (5)$$

– уравнение для средней водонасыщенности  $\langle s \rangle$  в трещине:

$$m^f \frac{\partial \langle s \rangle}{\partial t} + \frac{\partial}{\partial \xi} [f(\langle s \rangle) \langle u \rangle] + W = 0;$$

$$\langle u \rangle = -k^f \frac{\partial \langle p \rangle}{\partial \xi},$$

$$W = \frac{k^f}{2\delta^2} \left\{ [f(\tilde{s}) V^f] \Big|_{\gamma^+} - [f(\tilde{s}) V^f] \Big|_{\gamma^-} \right\} = 0,$$

$$V^f \Big|_{\gamma^+} = -2p^+ - p^- + 3\langle p \rangle, \quad V^f \Big|_{\gamma^-} = 2p^- + p^+ - 3\langle p \rangle; \quad (6)$$

$$\tilde{s} \Big|_{\gamma^+} = \begin{cases} \langle s \rangle, V^f \Big|_{\gamma^+} > 0, \\ s^+, V^f \Big|_{\gamma^+} < 0; \end{cases} \quad \tilde{s} \Big|_{\gamma^-} = \begin{cases} \langle s \rangle, V^f \Big|_{\gamma^-} < 0, \\ s^-, V^f \Big|_{\gamma^-} > 0. \end{cases}$$

– условия сопряжения на берегах трещины:

$$\gamma^+: \quad \sigma \frac{\partial p^+}{\partial n} = -\frac{k^f}{\delta} (2p^+ + p^- - 3\langle p \rangle);$$

$$s = \langle s \rangle, \quad \text{если } V_n \sim 2p^+ + p^- - 3\langle p \rangle < 0. \quad (7)$$

$$\gamma^- : \sigma \frac{\partial p^-}{\partial n} = -\frac{k^f}{\delta} (2p^- + p^+ - 3\langle p \rangle);$$

$$s = \langle s \rangle, \text{ если } V_n \sim 2p^- + p^+ - 3\langle p \rangle < 0. \tag{8}$$

Уравнения (1), (2) представляют известную в подземной гидромеханике модель суммарного потока двухфазной фильтрации (Беренблатт и др. 1984; Булыгин, 1974; Чекалин и др., 1990). Она записана в безразмерных переменных; все геометрические размеры нормированы на длину трещины, давление – на заданный напор, вязкость двухфазного флюида – на вязкость воды. Приняты обозначения:  $\beta$  – упругость;  $t$  – время;  $k, m$  – абсолютная проницаемость и пористость коллектора;  $k_w(s), k_o(s)$  – степенные относительные фазовые проницаемости воды и нефти;  $\mu_w, \mu_o$  – вязкости фаз;  $f(s)$  – доля воды в суммарном потоке.

Уравнения (5), (6) для средних давления и насыщенности в трещине, а также условия сопряжения (7), (8) получены из общих уравнений стационарной фильтрации методом осреднения по ширине  $2\delta$  раскрытия трещины разлома. В уравнении (6) для водонасыщенности в трещине  $k^f$  – абсолютная проницаемость трещины,  $m^f$  – её пористость; член  $W$  моделирует приток воды к трещине с её берегов  $\gamma^+$  и  $\gamma^-$ .

Начальные (3) и граничные (4) условия определяют следующую модельную задачу. В начальный момент коллектор  $D$  заполнен нефтью, давление в нем постоянно и равно нулю. При  $t = 0$  с левой границы  $\Gamma^+$  начинается заводнение ( $s = 1$ ), там поддерживается давление  $p = 1$ . Одновременно на правой границе  $\Gamma^-$  создается депрессия  $p = p_w < 0$ . Фильтрация происходит как в коллекторе, так и в трещине тектонического разлома.

Отметим, что модель (1)-(8) управляется тремя безразмерными параметрами: полуоткрытием трещины  $\delta$ , ее пористостью  $m^f$  и проницаемостью  $k^f$ . В условиях отсутствия достоверных данных о фильтрационных свойствах трещины можно сократить число адаптационных параметров, приняв зависимость Козени-Кармана (Carman, 1956) абсолютной проницаемости от пористости и среднего диаметра зерна  $D_g$ :  $k \sim D_g^2 m^3$ .

## 2. Метод численного решения и тестирование

Временная дискретизация дифференциальных уравнений (1)-(8) строилась на основе явной по насыщенности и неявной по давлению двухслойной схеме. Пространственная аппроксимация производилась методом конечных объемов (МКО).

На каждом временном слое определяющая система уравнений решалась в следующем порядке. На основе проведенной аппроксимации задач для давления (1), (4), (5) записывалась единая (coupled) система линейных алгебраических уравнений, неизвестными в которой являлись сеточные значения функций  $p, \langle p \rangle, p^+, p^-$  на временном слое. Полученная несимметричная сеточная матрица разрешалась методом QR – разложением (Davis, 2011). Затем по найденному полю давления с помощью закона

Дарси (1) определялось поле скоростей фильтрации  $\vec{V}$ , которое в свою очередь использовалось для пересчета насыщенности  $s, \langle s \rangle$  на текущем слое.

Тестирование алгоритма производилось на основе сравнения результатов расчета с расчетом по «сквозной» модели, где трещина разлома имеет конечную ширину  $2\delta$  и покрыта мелкой сеткой. В качестве области тестового расчета использовался неоднородный слоистый коллектор размеров  $[2 \times 1]$  со свойствами  $m = 1, K_m = 1, b = 0$  (Рис.2а). Рассматривалась высокопроницаемая трещина со свойствами  $k^f = 10, d = 0.01$ . Полученные при этом поля давления и скоростей фильтрации изображены на рис. 2б, а соответствующее мгновенное поле насыщенности – на рис. 3а. На последнем представлен момент, когда поток воды, идущий по верхнему слою, имеющему наибольшую проницаемость, достигает берега разлома и протекает по нему в нижние нефтесодержащие слои.

На рис. 3б представлено сравнение распределений водонасыщенности по длине трещины, полученных по «сквозной» и представленной осредненной моделям. Кривые практически совпадают, что указывает на адекватность примененных алгоритмов осреднения течения в трещине.

## 3. Пример обводнения скважины в пласте с высокопроницаемым разломом

В качестве иллюстрации необходимости учета переточек через разломы при моделировании нефтедобычи рас-

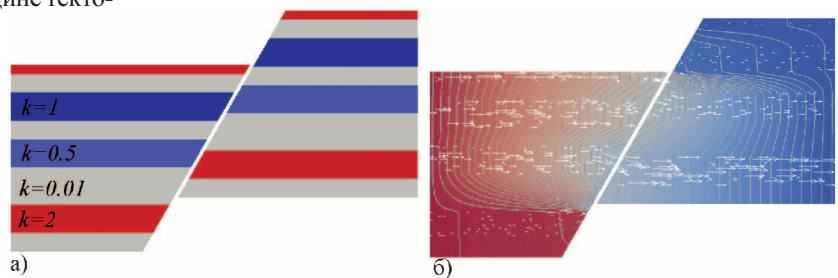


Рис. 2. Распределение проницаемости (а); рассчитанные поля давления и скорость фильтрации (б).

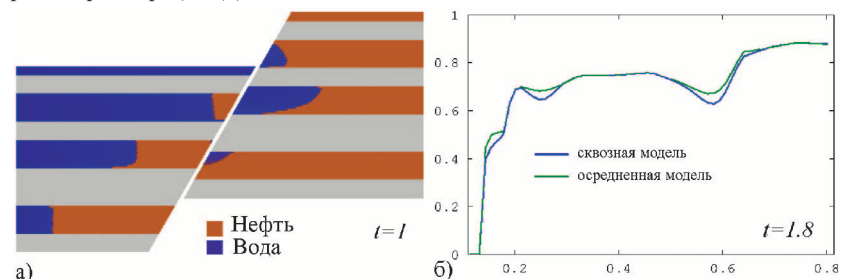


Рис. 3. Мгновенная нефтенасыщенность (а); мгновенное распределение  $\langle s \rangle$  по длине разлома (б).

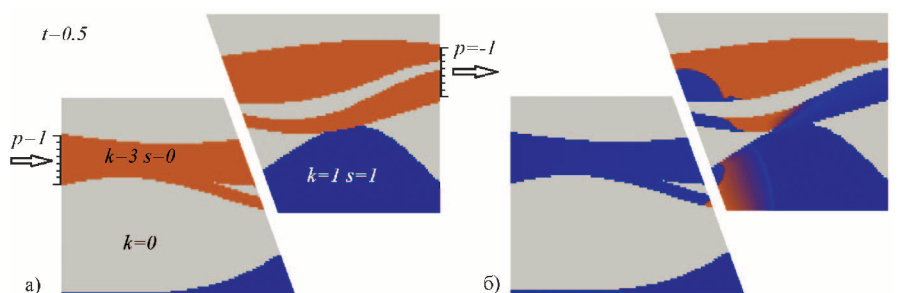


Рис. 4. Распределения водонасыщенности в начальный момент времени (а), в момент  $t = 0.5$  (б).

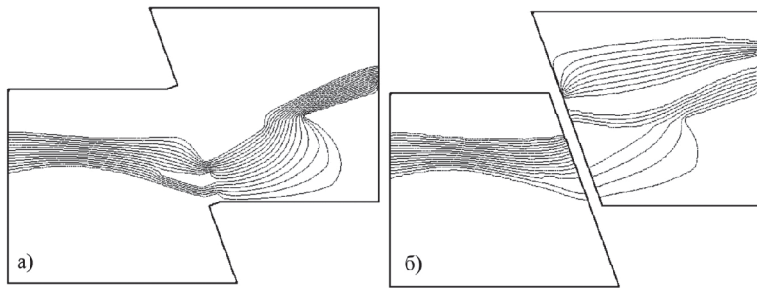


Рис. 5. Линии тока на момент  $t = 0.1$  для фильтрации без учета течения в разломе (а), с учетом разлома (б).

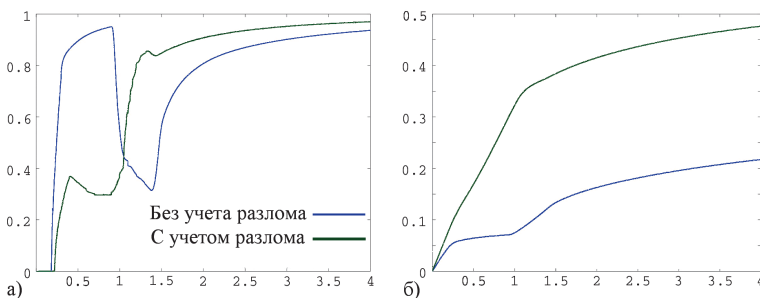


Рис. 6. Динамика обводненности продукции (а) и накопленной отбора нефти (б).

смотрено течение в пласте, представленном на рис. 4а. Решение соответствующей двумерной задачи может быть интерпретировано как вытеснение нефти водой от галереи нагнетательных скважин к галерее добывающих, между которыми проходит высокопроницаемый тектонический разлом.

Было рассмотрено два варианта расчета:

а) коллекторские свойства трещины игнорируются, моделируется идеальный контакт между областями  $D^+$  и  $D^-$ . Поскольку в результате разлома нефтенасыщенная часть коллектора потеряла непосредственную гидродинамическую связь, и вытеснение нефти может происходить лишь через водонасыщенный слой (линии тока соответствующего течения представлены на рис. 5а);

б) учитываются фильтрационные свойства трещины  $k_f = 50$ ,  $\delta = 0.01$ . Это приводит к существенным перетокам вдоль разлома и гидродинамической связи между всеми проницаемыми интервалами (Рис. 5б).

Динамика вытеснения нефти водой для случая б) представлена мгновенным полем водонасыщенности (Рис. 4б). Видно, что процесс заводнения затрагивает в том числе и верхний проницаемый нефтесодержащий интервал справа от разлома. А нижний нефтенасыщенный интервал справа от разлома заводняется с двух сторон: слева – через трещину разлома, и снизу – за счет контакта с водонасыщенной частью коллектора.

Принципиально иная картина заводнения получается, если не учитывать фильтрационные свойства трещины тектонического разлома (Рис. 5а). В частности, правый верхний нефтенасыщенный интервал оказывается практически не охваченным заводнением.

Столь же резко отличаются для случаев а) и б) и показатели разработки: обводненность продукции и накопленная добыча нефти (Рис. 6).

Из приведенного примера видно, что при моделировании разработки нефтяных пластов с тектоническими нарушениями необходимо применять специальные матема-

тические модели, учитывающие фильтрационные потоки в трещине разлома.

## Выводы

В настоящей работе разработан упрощенный численный метод моделирования двухфазной фильтрации в окрестности тектонического разлома. Тестирование показало, что решение по упрощенной модели очень близко к решению задачи в полной постановке.

Представленные расчеты на двумерных модельных примерах показали, что при моделировании разработки нефтяных залежей с тектоническими нарушениями необходимо применять специальные математические модели, учитывающие фильтрационные потоки в трещине разлома. Необходимые для представленной модели безразмерные параметры – разлома раскрытие трещины и её проводимость – могут быть подобраны в процессе адаптации модели по промысловым данным на скважинах.

Отметим, что разработанный алгоритм может быть без существенных изменений применен и к решению практически значимых трехмерных задач фильтрации. Представленный метод учета тектонических нарушений является частью суперэлементной модели разработки нефтяных месторождений (Мазо, Булыгин, 2011).

## Литература

- Беренблатт Г.И., Ентов В.М., Рыжик В.М. Движение жидкостей в природных пластах. М.: Недра. 1984. 211 с.  
 Булыгин В.Я. Гидромеханика нефтяного пласта. М.: Недра. 1974. 232 с.  
 Мазо А.Б., Булыгин Д.В. Суперэлементы. Новый подход к моделированию разработки нефтяных месторождений. *Нефть. Газ. Новации*. № 11. 2011. 6-8.  
 Чекалин А.Н., Кудрявцев Г.В., Михайлов В.В. Исследования двух- и трехкомпонентной фильтрации в нефтяных пластах. Казань: КГУ. 1990. 147 с.  
 Carman, P.C. Flow of gases through porous media. Butterworths. London. 1956.  
 Davis T.A. Multifrontal multithreaded rank-revealing sparse QR-factorization. *ACM Transactions on Mathematical Software*. V. 38. №1. 2011.

### A.B. Mazo, E.I. Kalinin, D.V. Buligin. Modelling of two-phase filtration near tectonic fault of oil deposit.

Numerically simulated model of two-phase filtration in oil deposit with tectonic faulting is presented. Fluid flowing through fracture describe by special filtration equation system, averaged across the width of fracture.

Key words: tectonic fault, oil deposit, two-phase filtration.

*Александр Бенцианович Мазо*

Д.физ.-мат.н., профессор кафедры аэрогидромеханики Казанского (Приволжского) федерального университета. 420008, Казань, ул. Кремлевская, д. 18. Тел.: (843)231-52-30.

*Евгений Игоревич Калинин*

К.физ.-мат.н., старший научный сотрудник ООО «Дельта Ойл Проект».

*Дмитрий Владимирович Булыгин*

Д.геол.-мин.н., заместитель директора по науке ООО «Дельта Ойл Проект».

420111, Казань, ул. Лобачевского, д. 10в. Тел.: (843)200-03-04.